

DISTANZE PARZIALI	DISTANZE PROGRESSIVE	QUOTE TERRENO	QUOTE PROGETTO
0+00	0+00	18.50	18.50
0+10	0+10	18.50	18.50
0+20	0+20	18.50	18.50
0+30	0+30	18.50	18.50
0+40	0+40	18.50	18.50
0+50	0+50	18.50	18.50
0+60	0+60	18.50	18.50
0+70	0+70	18.50	18.50
0+80	0+80	18.50	18.50
0+90	0+90	18.50	18.50
0+100	0+100	18.50	18.50
0+110	0+110	18.50	18.50
0+120	0+120	18.50	18.50
0+130	0+130	18.50	18.50
0+140	0+140	18.50	18.50
0+150	0+150	18.50	18.50
0+160	0+160	18.50	18.50
0+170	0+170	18.50	18.50
0+180	0+180	18.50	18.50
0+190	0+190	18.50	18.50
0+200	0+200	18.50	18.50
0+210	0+210	18.50	18.50
0+220	0+220	18.50	18.50
0+230	0+230	18.50	18.50
0+240	0+240	18.50	18.50
0+250	0+250	18.50	18.50
0+260	0+260	18.50	18.50
0+270	0+270	18.50	18.50
0+280	0+280	18.50	18.50
0+290	0+290	18.50	18.50
0+300	0+300	18.50	18.50
0+310	0+310	18.50	18.50
0+320	0+320	18.50	18.50
0+330	0+330	18.50	18.50
0+340	0+340	18.50	18.50
0+350	0+350	18.50	18.50
0+360	0+360	18.50	18.50
0+370	0+370	18.50	18.50
0+380	0+380	18.50	18.50
0+390	0+390	18.50	18.50
0+400	0+400	18.50	18.50
0+410	0+410	18.50	18.50
0+420	0+420	18.50	18.50
0+430	0+430	18.50	18.50
0+440	0+440	18.50	18.50
0+450	0+450	18.50	18.50
0+460	0+460	18.50	18.50
0+470	0+470	18.50	18.50
0+480	0+480	18.50	18.50
0+490	0+490	18.50	18.50
0+500	0+500	18.50	18.50

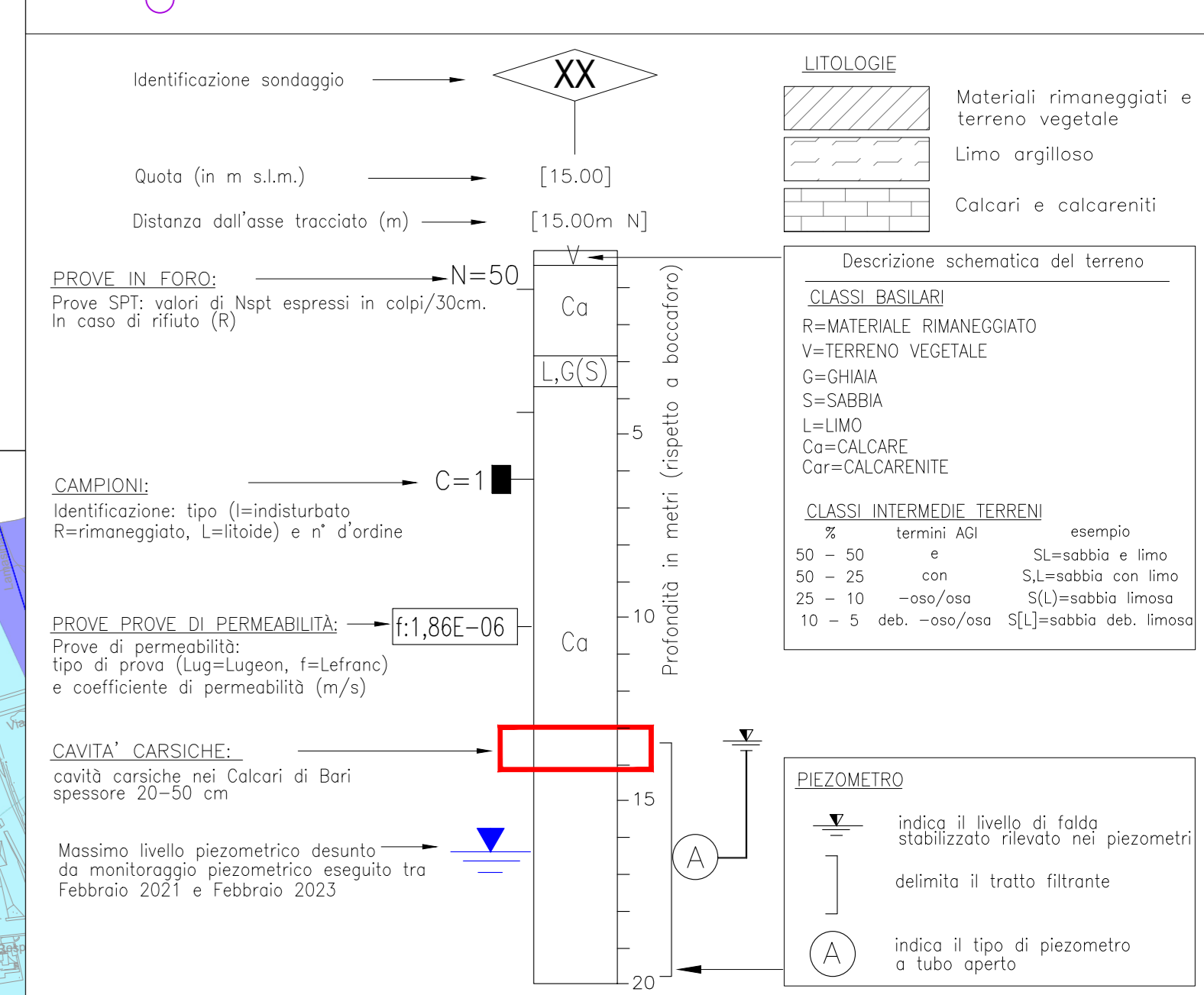
LEGENDA IDROGEOLOGICA

PERMEABILITA' DELLE UNITA' IDROGEOLOGICHE	TIPO DI PERMEABILITA'			GRADO DI PERMEABILITA' (m/s)					
	Resista	Resistibile	Caricabile	10 ⁰	10 ¹	10 ²	10 ³	10 ⁴	10 ⁵
Roce a permeabilità medio-alta: La permeabilità, per fessurazione e porosità, è generalmente elevata a causa dell'elevata porosità. A questo complesso si può attribuire, pertanto, un coefficiente di permeabilità k variabile tra $1 \cdot 10^3$ e $1 \cdot 10^5$ m/s. (Complesso idrogeologico delle Calcareniti di Gravina e del Sistema di San Girolamo)	[Symbol]	[Symbol]	[Symbol]	[Symbol]	[Symbol]	[Symbol]	[Symbol]	[Symbol]	[Symbol]
Roce a permeabilità media: La permeabilità, per fessurazione e carsismo, è variabile da bassa ad alta. A tale complesso si può quindi attribuire una permeabilità da media ad elevata. coefficiente di permeabilità k variabile da $1 \cdot 10^2$ e $1 \cdot 10^4$ m/s. (Complesso idrogeologico dei Calcari di Bari)	[Symbol]	[Symbol]	[Symbol]	[Symbol]	[Symbol]	[Symbol]	[Symbol]	[Symbol]	[Symbol]
Depositi a permeabilità bassa - impermeabile: Permeabilità per porosità variabile da molto bassa a impermeabile. A questo complesso si può attribuire, pertanto, un coefficiente di permeabilità $k < 1 \cdot 10^1$ m/s. (Complesso idrogeologico dei depositi alluvionali)	[Symbol]	[Symbol]	[Symbol]	[Symbol]	[Symbol]	[Symbol]	[Symbol]	[Symbol]	[Symbol]
Depositi a permeabilità medio-bassa: Permeabilità per porosità variabile da media a bassa. A questo complesso si può attribuire, pertanto, un coefficiente di permeabilità $1 \cdot 10^1 < k < 1 \cdot 10^2$ m/s. (Complesso idrogeologico dei terreni superficiali)	[Symbol]	[Symbol]	[Symbol]	[Symbol]	[Symbol]	[Symbol]	[Symbol]	[Symbol]	[Symbol]

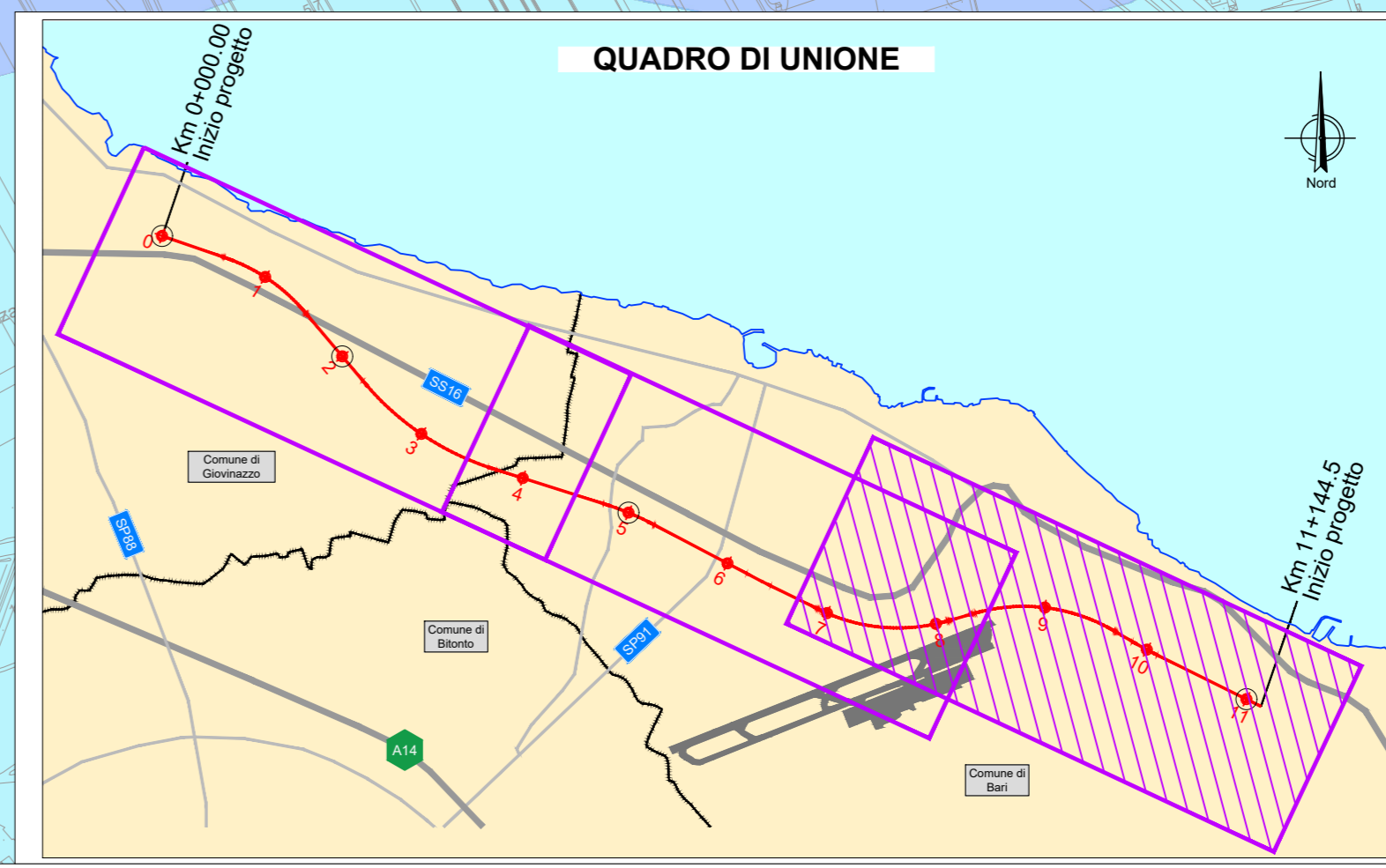
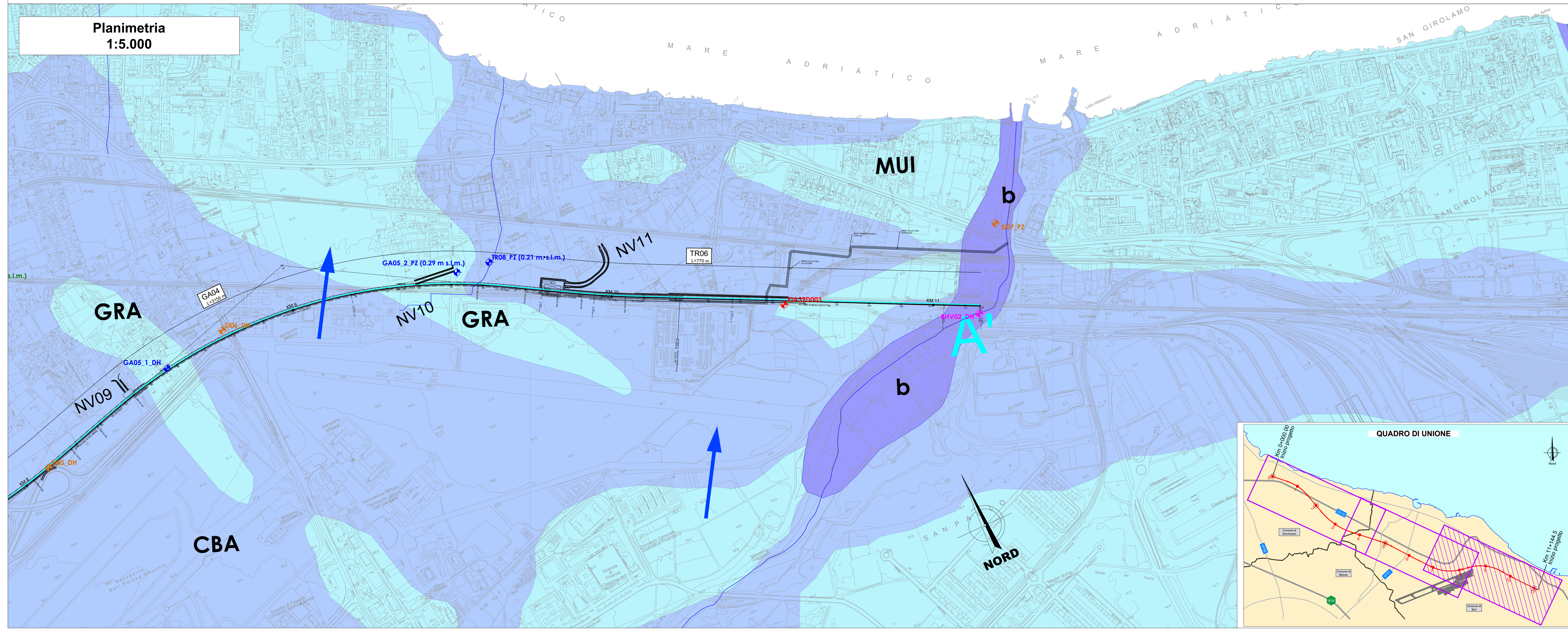
— Faglia presunta A-A' Profilo geologico
 — Corsi d'acqua episodici (lame) → Senso di deflusso falda

INDAGINI

- Campagna indagini integrative 2023**
 S1xx_XX sondaggi stratigrafici a carotaggio continuo con installazione di piezometri a tubo aperto (PZ) o con realizzazione di prove sismiche Down Hole (DH)
- Campagna indagini geognostiche 2020-2021**
 GA01(0.75 m s.l.m.) sondaggi stratigrafici a carotaggio continuo con installazione di piezometri a tubo aperto (PZ) o con realizzazione di prove sismiche Down Hole (DH). Tra parentesi è riportato il massimo livello piezometrico in m.s.l.m., misurato nei piezometri tra febbraio 2021 e febbraio 2023.
- Campagna indagini geognostiche 2022**
 BHV02_DH sondaggio stratigrafico a carotaggio continuo con realizzazione di prove sismiche Down Hole (DH)
- Campagna indagini geognostiche 2017**
 S4(0.47 m s.l.m.) sondaggi stratigrafici eseguiti nel 2017 con installazione di piezometri a tubo aperto. Tra parentesi è riportato il massimo livello piezometrico in m.s.l.m., misurato nei piezometri tra febbraio 2021 e febbraio 2023.
- Campagna indagini geognostiche realizzate per il progetto preliminare del Riassetto del Nodo di Bari (2008)**
 XIA32D003 sondaggi stratigrafici a carotaggio continuo
 151946 pozzi per acqua



Planimetria 1:5.000



COMMITTENTE: **RFI RETE FERROVIARIA ITALIANA GRUPPO FERROVIE DELLO STATO ITALIANE**

PROGETTAZIONE: **ITALFERR GRUPPO FERROVIE DELLO STATO ITALIANE**

INFRASTRUTTURE FERROVIARIE STRATEGICHE DEFINITE DALLA LEGGE OBIETTIVO N. 443/01 e s.m.i.

S.O. GEOLOGIA

PROGETTO DEFINITIVO

NODO DI BARI

BARI NORD VARIANTE SANTO SPIRITO - PALESE

Carta e profilo geologico-geomorfologico
 Collettore idraulico IN09

SCALA: 1:5.000/1:250

COMMESSA	LOTTO	FASE	ENTE	TIPO DOC.	OPERA/DISCIPLINA	PROGR.	REV.
IADR	00	69	LS	CE0001	005	A	

Rev.	Descrizione	Redatto	Verificato	Approvato	Data	Autorizzato Data
A	Emissione esecutiva	F. [Signature]	Ottobre 2023	A. [Signature]	Ottobre 2023	G. [Signature] Ottobre 2023

File: IASR00049_502002001_5A.dwg n. Elab.: